

دو فصلنامه علمی-پژوهشی تحقیقات ژنتیک و اصلاح گیاهان مرتعی و جنگلی ایران

جلد ۲۲، شماره ۲، صفحه ۱۶۷-۱۵۶ (۱۳۹۳)

## بررسی ساختار تنوع ژنتیکی جمعیت‌هایی از بنه (*Pistacia atlantica* subsp. *mutica*) با استفاده از نواحی بین ریزماهواره ژنومی

علی اشرف مهربانی<sup>۱\*</sup>، سمیرا محمدی<sup>۲</sup>، پیمان غلامی<sup>۳</sup> و علیرضا اطمینان<sup>۴</sup>

<sup>۱\*</sup> نویسنده مسئول مکاتبات، دانشیار، گروه زراعت و اصلاح نباتات، دانشکده کشاورزی و منابع طبیعی، دانشگاه ایلام، ایران

پست الکترونیکی: a.mehrabi@mail.ilam.ac.ir

<sup>۲</sup> دانش‌آموخته کارشناسی ارشد اصلاح نباتات، دانشکده کشاورزی و منابع طبیعی، دانشگاه ایلام، ایران

<sup>۳</sup> دانش‌آموخته کارشناسی ارشد دانشگاه آزاد اسلامی، واحد کرمانشاه، گروه اصلاح نباتات، کرمانشاه، ایران

<sup>۴</sup> استادیار، گروه اصلاح نباتات، دانشکده کشاورزی، واحد کرمانشاه، دانشگاه آزاد اسلامی، کرمانشاه، ایران.

تاریخ پذیرش: ۱۳۹۳/۰۹/۱۲

تاریخ دریافت: ۱۳۹۲/۱۰/۲۶

### چکیده

گونه بنه (*Pistacia atlantica* subsp. *mutica*) یکی از بارزترین گونه‌های جنگلی ایران می‌باشد که با بهره‌برداری بی‌رویه انسان مورد تخریب قرار گرفته است. بنابراین با شناخت تنوع ژنتیکی جمعیت‌های مختلف بنه می‌توان گام مهمی در جهت توسعه و ترمیم رویشگاه‌های این گونه با ارزش برداشت. در این تحقیق، به منظور ارزیابی تنوع ژنتیکی ۱۰ جمعیت بنه شامل ۵۹ ژنوتیپ با استفاده از ۱۶ آغازگر ISSR، در مجموع ۱۵۸ آلل تکثیر شد که ۱۰۰ درصد آلل‌ها چندشکل بودند. تعداد آلل‌های تکثیر شده از ۳ تا ۱۷ با میانگین ۹/۷۸ آلل متغیر بود. محتوای اطلاعات چندشکلی از ۰/۱۶ برای آغازگر UBC866 تا ۰/۳۸ برای آغازگر UBC884 متفاوت بود. همچنین شاخص نشانگر از ۰/۴۸ برای آغازگر UBC866 تا ۵/۹۵ برای آغازگر UBC840 متفاوت بود. تجزیه خوشه‌ای نتوانست ژنوتیپ‌ها را به‌طور کامل از هم تفکیک کند و عدم ارتباط بین تنوع مولکولی و تنوع جغرافیایی را نشان داد. تجزیه به مختصات اصلی نیز این نتایج را تأیید کرد. جمعیت کوشک بیشترین میزان آلل‌های چندشکل (۷۲/۱۵ درصد)، شاخص تصحیح شده هتروژنی (۰/۲۵۷) و شاخص شانون (۰/۳۶۴) را نشان داد، در حالی که کمترین میزان آلل‌های چندشکل (۱۰/۱۳ درصد)، شاخص تصحیح شده هتروژنی (۰/۰۵۶) و شاخص شانون (۰/۰۶۱) در جمعیت خارج از زاگرس مشاهده شد. تجزیه واریانس مولکولی نشان داد که سطح بیشتری از تنوع به درون جمعیت‌ها (۸۲ درصد) تعلق داشت، در حالی که تنها ۱۸ درصد تنوع در بین جمعیت‌ها مشاهده گردید. نتایج این تحقیق نشان داد که نشانگرهای ISSR ابزار مفیدی برای ایجاد کلکسیون و حفاظت از ژرم پلاسما بنه می‌باشند.

واژه‌های کلیدی: بنه، تجزیه به مختصات اصلی، تجزیه خوشه‌ای، تجزیه واریانس مولکولی، تنوع ژنتیکی، نشانگر ISSR.

### مقدمه

گونه پسته در ایران وجود دارد که شامل پسته زراعی یا خندان (*P. vera*)، پسته خنجوک (*P. khinjuk*) و بنه (*P. atlantica*) می‌باشد. بنه دارای سه زیرگونه موتیکا

جنس پسته (*Pistacia*) متعلق به خانواده سماق (Anacardiaceae) می‌باشد. این جنس ۴۹ گونه دارد. سه

کاربرد دارند (Reddy *et al.*, 2002). در تحقیقی Tagizad و همکاران (۲۰۱۲) و همچنین Noroozi و همکاران (۲۰۰۹) با مطالعه تنوع ژنتیکی تعدادی از ارقام پسته ایرانی با نشانگرهای ISSR گزارش کردند که نتایج این نشانگر کارایی بالایی در تخمین چندشکلی دارد. همچنین Fares و همکاران (۲۰۰۹) نشانگرهای مورفولوژیکی و بیوشیمیایی و نشانگر ISSR را برای ارزیابی تنوع ژنتیکی توده‌های پسته به‌کار بردند. نشانگرهای ISSR درصد بالایی آل چندشکل تکثیر کردند. ضمن اینکه Seyedی و همکاران (۲۰۱۰) الگوی پروتئینی سه جمعیت پسته وحشی (*Pistacia atlantica* Desf) را برای تعیین تنوع ژنتیکی بررسی کردند. دندروگرام به‌دست آمده اگرچه قادر به جداسازی کامل جمعیت‌ها از یکدیگر نشد ولی تا حدودی توانست سه جمعیت را از یکدیگر تفکیک کند. در تحقیق دیگری Pazouki و همکاران (۲۰۱۰) با مطالعه تنوع ژنتیکی و روابط میان گونه‌ها و ارقام پسته با استفاده از نشانگرهای SSR، اطلاعات مهمی برای جمع‌آوری و حفاظت ژرم‌پلاسما پسته به‌دست آوردند. همینطور Kafkas و همکاران (۲۰۰۶) برای تعیین تنوع ژنتیکی ژرم‌پلاسما پسته وحشی، نشانگرهای AFLP، ISSR و RAPD را به‌کار بردند. دندروگرام به‌دست آمده ژنوتیپ‌ها را در دو گروه اصلی قرار داد. در مطالعه Kafkas (۲۰۰۵) با استفاده از نشانگر RAPD سطح بالایی از چندشکلی در پسته وحشی *Pistacia atlantica* Desf. به‌دست آمد. میرزایی و همکاران (۲۰۰۵) با استفاده از نشانگر مولکولی RAPD، گونه‌های پسته وحشی را در چهار گروه طبقه‌بندی کردند.

به‌طورکلی اهداف اصلی این تحقیق عبارت بودند از:

۱. شناخت ارتباط ژنتیکی و قرابت بین و درون جمعیت‌های بنه، گروه‌بندی آنها و تشکیل یک درخت‌واره براساس انگشت‌نگاری ژنومی حاصل از نشانگرهای ISSR؛
۲. مطالعه میزان تفرق ژنتیکی و تنوع آلی درون و بین جمعیت‌های غرب کشور در مقایسه با ژنوتیپ‌های جمع‌آوری شده از مناطق دیگر کشور؛

کوردیکا (*mutica*)، کابولیکا (*kurdica*) و کابولیکا (*cabolica*) می‌باشد (Khatamsaz, 1988). این گونه سطحی معادل ۲/۵ تا ۳ میلیون هکتار از کشور را می‌پوشاند (Kayimov *et al.*, 1998).  
گونه بنه با نام علمی (Fisch. & C. A. Mey.) Rech. f. *P. atlantica* subsp. *mutica* گونه‌ای دیپلوئید ( $2n=2x=28$ ) (Ghaffari *et al.*, 2002; 2005)، درختچه‌ای، دو پایه و برگ‌ریز می‌باشد (Kafkas & Perl-Treves, 2001). ارزش قابل توجه این گونه در زمینه تولید سقز، میوه و محصولات فرعی (روغن و ...) و استفاده‌های دارویی و خوراکی متعدد آن، استفاده از چوب این گونه برای سوخت، مصارف صنعتی و ساختمانی، میوه و برگ آن در تغذیه و تولید علوفه می‌باشد (Zahedi Pour *et al.*, 2005). به لحاظ زیست‌محیطی نیز در حفاظت منابع آب و خاک، تطیف آب و هوای منطقه، پناهگاه حیات وحش و مقاومت بسیار بالایی این گونه به سرما، شوری و خشکی از اهمیت خاصی برخوردار است (Hamzhepour *et al.*, 2006). رویشگاه‌های این گونه با ارزش به‌دلایل مختلفی از جمله آتش‌سوزی، چرای مفرط دام، توسعه اراضی کشاورزی، سقزگیری نادرست، عوامل ژنتیکی و محیطی مختلف به‌همراه سایر فعالیت‌های انسانی مورد تخریب و تجاوز قرار گرفته است و مجموعه حیات گیاهی و جانوری موجود در این رویشگاه‌ها را نیز در معرض تهدید قرار داده است (Zahedi Pour *et al.*, 2007; Seyedی *et al.*, 2010). بنابراین شناخت تنوع ژنتیکی جمعیت‌های مختلف بنه می‌تواند گام مهمی در جهت توسعه و ترمیم رویشگاه‌های این گونه با ارزش باشد. یکی از نشانگرهایی که در مطالعات تنوع ژنتیکی موجودات زنده و گیاهان کاربرد دارد، نشانگر ISSR است. این تکنیک دارای سرعت و سهولت اجرا، هزینه پایین و چندشکلی کافی برای اهداف انگشت‌نگاری DNA می‌باشد و عدم نیاز به توالی‌یابی DNA الگو و نیاز به مقدار بسیار کمی DNA، از دیگر مزایای این نشانگر می‌باشد (Tagizad *et al.*, Kafkas *et al.*, 2006; 2010). نشانگر ISSR در مطالعات تنوع ژنتیکی، فیلوژنی، نشان‌دار کردن ژنی، نقشه‌یابی ژنومی و زیست‌شناسی تکاملی

ایلام، کرمانشاه، کردستان و لرستان) و ۱ جمعیت شامل ۲ ژنوتیپ از کوه‌های خارج از زاگرس (استان‌های اصفهان و سیستان و بلوچستان) جمع‌آوری گردید. نمونه‌های جمع‌آوری شده پس از ثبت مشخصات به‌طور جداگانه در کاغذ آلومینیوم پیچیده شده و توسط نیتروژن مایع منجمد گردیدند. نمونه‌ها تا زمان استخراج DNA در فریزر ۸۰- درجه سانتی‌گراد نگهداری شدند.

۳. استفاده از اطلاعات به‌دست آمده در برنامه‌ریزی حفاظت ژرم پلاسما و ایجاد کلکسیون از جمعیت‌های بنبه برای کارهای اصلاحی.

### مواد و روش‌ها

مواد گیاهی: در این پژوهش نمونه‌های برگ‌ی از ۹ جمعیت بنبه شامل ۵۵ ژنوتیپ از کوه‌های زاگرس (استان‌های

جدول ۱- منشأ جغرافیایی ژنوتیپ‌های بنبه استفاده شده در این تحقیق

ردیف	کد	نام رویشگاه	ردیف	کد	نام رویشگاه	ردیف	کد	نام رویشگاه	ردیف	کد	نام رویشگاه
۱	I1	ایلام	۱۶	A10	آبدانان	۳۱	P1	پاوه	۴۶	Q4	قلاجه
۲	I2	ایلام	۱۷	A11	آبدانان	۳۲	P2	پاوه	۴۷	Q5	قلاجه
۳	I3	ایلام	۱۸	Ban1	بانه	۳۳	P3	پاوه	۴۸	K1	کوشک
۴	I4	ایلام	۱۹	Ban2	بانه	۳۴	P4	پاوه	۴۹	K2	کوشک
۵	I5	ایلام	۲۰	Ban3	بانه	۳۵	P5	پاوه	۵۰	K3	کوشک
۶	I6	ایلام	۲۱	Ban4	بانه	۳۶	P6	پاوه	۵۱	K4	کوشک
۷	A1	آبدانان	۲۲	Bay1	باینگان	۳۷	P7	پاوه	۵۲	K5	کوشک
۸	A2	آبدانان	۲۳	Bay2	باینگان	۳۸	P8	پاوه	۵۳	K6	کوشک
۹	A3	آبدانان	۲۴	Bay3	باینگان	۳۹	P9	پاوه	۵۴	K7	کوشک
۱۰	A4	آبدانان	۲۵	Bay4	باینگان	۴۰	J1	جوانرود	۵۵	K8	کوشک
۱۱	A5	آبدانان	۲۶	Bay5	باینگان	۴۱	J2	جوانرود	۵۶	M1	مریوان
۱۲	A6	آبدانان	۲۷	Bay6	باینگان	۴۲	J3	جوانرود	۵۷	M2	مریوان
۱۳	A7	آبدانان	۲۸	Bay7	باینگان	۴۳	Q1	قلاجه	۵۸	Isf	اصفهان
۱۴	A8	آبدانان	۲۹	Bay8	باینگان	۴۴	Q2	قلاجه	۵۹	Sis	سیستان و بلوچستان
۱۵	A9	آبدانان	۳۰	Bay9	باینگان	۴۵	Q3	قلاجه			

بررسی گردید و DNA نمونه‌ها تا حد ۱۰۰ نانوگرم در میکرولیتر رقیق شد.

### مراحل واکنش زنجیره‌ای پلیمرز

واکنش زنجیره‌ای پلیمرز در حجم ۲۰ میکرولیتر شامل ۱ میکرولیتر DNA ژنومی (غلظت ۱۰۰ نانوگرم)، ۲

استخراج DNA ژنومی: DNA ژنومی از نمونه‌های برگ‌ی به روش CTAB براساس دستورالعمل دوپل و دوپل (Doyle & Doyle, 1987) با اندکی تغییرات استخراج گردید. کمیت و کیفیت DNA نمونه‌ها با استفاده از روش الکتروفورز DNA روی ژل آگارز ۰/۸ درصد و نیز روش اسپکتروفتومتری در طول موج‌های ۲۶۰ و ۲۸۰ نانومتر

میکرولیتر بافر ۱۰X، ۱/۵ میکرولیتر کلرید منیزیم ۲۰ میلی مولار، ۰/۴ میکرولیتر dNTPs ۱ میلی مولار، ۱/۲ میکرولیتر آغازگر (غلظت ۱۰ پیکومول)، ۰/۳ میکرولیتر آنزیم Taq پلیمرز (۵ واحد) و در نهایت با ۱۳/۶ میکرولیتر آب دو بار تقطیر انجام شد. پس از انجام واکنش PCR (جدول ۲)، الکتروفورز DNA تکثیر بر روی ژل آگارز ۱/۵ درصد با بافر 1X TAE، انجام شد و برای رنگ آمیزی ژل از محلول اتیدیوم بر مایند استفاده شد.

جدول ۲- شرایط دمایی و زمانی مورد استفاده برای انجام واکنش PCR

مرحله	تعداد دوره	نوع فعالیت	دما (درجه سانتیگراد)	زمان (ثانیه)
۱	۱	واسرشت سازی اولیه	۹۴	۲۴۰
		واسرشت سازی	۹۴	۳۰
۲	۱۰	اتصال آغازگر	دمای اتصال+۵	۳۰
		بسط آغازگر	۷۲	۶۰
		واسرشت سازی	۹۴	۳۰
۳	۲۵	اتصال آغازگر	دمای اتصال آغازگر	۳۰
		بسط آغازگر	۷۲	۶۰
۴	۱	بسط نهایی	۷۲	۴۲۰
۵	۱	پایان برنامه	۴	۶۰۰

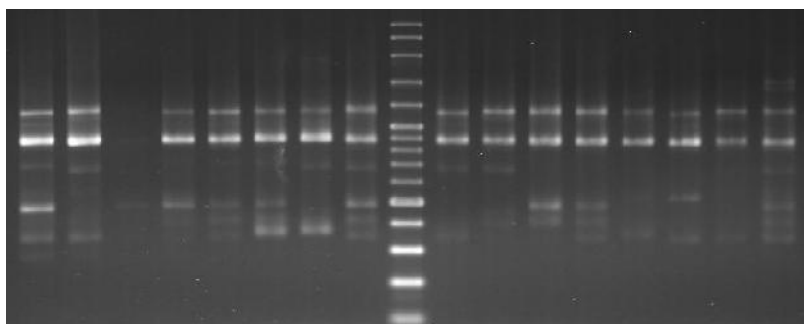
### تجزیه و تحلیل داده‌ها

(Ryan *et al.*, 2012) مورد بررسی قرار گرفت. از نرم افزار MEGA 3.1 (Kumar *et al.*, 2004) برای تجزیه خوشه‌ای و محاسبه فاصله ژنتیکی درون جمعیت‌ها استفاده گردید و سپس با استفاده از نرم افزار GenAlEx 6.41 (Smouse, 2006) (Peakall & 2006) فاصله ژنتیکی بین جمعیت‌ها، میزان مکان‌های چندشکل، شاخص تصحیح شده هتروژنی و شاخص اطلاعات شانون محاسبه و تجزیه واریانس مولکولی نیز انجام شد.

### نتایج

محاسبه چندشکلی: از ۲۰ آغازگر ISSR به کار رفته، ۱۶ آغازگر چندشکلی مناسبی نشان دادند و امتیازدهی شدند. در مجموع ۱۵۸ باند (آل) در محدوده بین ۱۰۰ تا ۲۸۰۰ جفت باز تکثیر شد، تعداد آل‌ها از ۳ تا ۱۷ متغیر بود و میانگین آل‌های تولید شده، ۹/۸۷ برای هر آغازگر به دست آمد. در بین این آغازگرها، آغازگر UBC840 با ۱۷ آل، بیشترین و آغازگر UBC866 با ۳ آل کمترین تعداد آل را به خود اختصاص دادند (جدول ۳).

باند‌های حاصل از تکثیر ژنوتیپ‌ها با استفاده از هر آغازگر به عنوان داده‌های اولیه با اعداد یک (حضور باند) و صفر (عدم حضور باند) امتیازدهی شدند. میزان اطلاعات چندشکل (PIC) بر اساس فرمول  $PIC_i = 2f_i(1 - f_i)$  (Roldan-Ruiz *et al.*, 2000) محاسبه گردید که در آن  $f_i$  بیانگر فراوانی ژنوتیپ‌های دارای آل  $i$ ام می‌باشد. همچنین میزان شاخص نشانگر (MI) با استفاده از فرمول  $MI = PIC \times N$  (Hormaza *et al.*, 1998) محاسبه شد، به طوری که PIC میانگین میزان اطلاعات چندشکلی برای هر آغازگر، N تعداد کل باندها برای هر آغازگر و نسبت چندشکلی برای هر آغازگر می‌باشد. شاخص‌های فاصله همراه با روش‌های اتصال میانگین (UPGMA) و اتصال مجاور (NJ) با استفاده از نرم افزار DARwin 5.0 (Perrier *et al.*, 2003) محاسبه و با استفاده از نرم افزار XLSTAT مقایسه شدند. با روش تجزیه به مختصات اصلی با استفاده از نرم افزار GenAlEx 6.41 گروه بندی جمعیت‌ها در نمودارهای سه بعدی ترسیم شده با نرم افزار Minitab 16



شکل ۱- الگوی بانندی تعدادی از ژنوتیپ‌های مورد بررسی توسط آغازگر UBC841

کمترین میزان PIC (۰/۱۶) برای آغازگر UBC866 و میانگین PIC معادل ۰/۲۸ برآورد گردید. بیشترین میزان MI (۵/۹۵) برای آغازگر UBC840 و کمترین میزان MI معادل (۰/۴۸) برای آغازگر UBC866 و میانگین MI معادل ۲/۸۶ محاسبه شد.

محاسبه محتوای اطلاعات چندشکلی و شاخص نشانگر: میزان محتوای اطلاعات چندشکلی (PIC) و شاخص نشانگر (MI) برای هر آغازگر، به‌طور جداگانه محاسبه گردید که نتایج آن در جدول ۳ ارائه شده است. بیشترین میزان PIC (۰/۳۸) برای آغازگر UBC884 و

جدول ۳- مشخصات آغازگرهای مورد استفاده به‌همراه محتوای اطلاعات چندشکلی و شاخص نشانگر آنها

اندازه قطعات تکنیری (جفت باز)	MI	PIC	درصد چندشکلی	تعداد آل‌های چندشکل	تعداد آل‌ها	دمای اتصال (°C)	توالی آغازگر (3 → 5)	نام آغازگر
۱۵۰-۶۰۰	۱/۸	۰/۳۰	۱۰۰	۶	۶	۵۲	(AG)AG	UBC809
۵۳۰-۱۵۰۰	۰/۸۵	۰/۱۷	۱۰۰	۵	۵	۵۲	(CT)AG	UBC815
۳۵۰-۱۵۰۰	۲/۳	۰/۲۳	۱۰۰	۱۰	۱۰	۵۲	(TC)AC	UBC823
۵۵۰-۱۹۰۰	۱/۵۳	۰/۱۷	۱۰۰	۹	۹	۵۲	(TC)AG	UBC824
۳۷۰-۲۳۰۰	۴/۲	۰/۳۰	۱۰۰	۱۴	۱۴	۵۲	(AC)AC	UBC826
۳۰۰-۱۹۰۰	۲/۳۱	۰/۳۳	۱۰۰	۷	۷	۵۵	(AG)AYC	UBC835
۲۰۰-۲۸۰۰	۵/۹۵	۰/۳۵	۱۰۰	۱۷	۱۷	۵۳	(GA)AYT	UBC840
۲۸۰-۲۰۰۰	۴/۲	۰/۲۸	۱۰۰	۱۵	۱۵	۵۵	(GA)AYC	UBC841
۴۵۰-۱۸۰۰	۲/۸	۰/۲۸	۱۰۰	۱۰	۱۰	۵۵	(GA)AYG	UBC842
۶۸۰-۲۵۰۰	۲/۵۶	۰/۳۲	۱۰۰	۸	۸	۵۳	(TC)ART	UBC853
۶۰۰-۱۲۰۰	۰/۴۸	۰/۱۶	۱۰۰	۳	۳	۶۱	(CTC)ε	UBC866
۱۶۰-۷۵۰	۳/۰۴	۰/۳۸	۱۰۰	۸	۸	۵۱	HBH (AG)ν	UBC884
۱۰۰-۱۲۰۰	۳/۶۳	۰/۳۳	۱۰۰	۱۱	۱۱	۵۲	VDV (CT)ν	UBC886
۳۳۰-۱۷۰۰	۳/۹۲	۰/۲۸	۱۰۰	۱۴	۱۴	۵۱	DVD(TC)ν	UBC887
۲۰۰-۹۰۰	۳	۰/۳۰	۱۰۰	۱۰	۱۰	۵۲	BDB(CA)ν	UBC888
۲۵۰-۱۸۰۰	۳/۱۹	۰/۲۹	۱۰۰	۱۱	۱۱	۵۱	DBD(AC)ν	UBC889

D=(A یا G یا T), V=(A یا C یا G), B=(C یا G یا T), H=(A یا C یا T), R=(A یا G), Y=(C یا T)

تجزیه خوشه‌ای: با استفاده از داده‌های حاصل از ماتریس فاصله دایس و الگوریتم NJ، تجزیه خوشه‌ای با نرم‌افزار MEGA 3.1 انجام شد. دندروگرام به دست آمده (شکل ۲)، ژنوتیپ‌ها را در ۱۱ گروه اصلی تقسیم‌بندی نمود که در گروه اول ۲۶ ژنوتیپ از آبدانان، باینگان، جوانرود، مریوان، قلاج، کوشک و ایلام، در گروه دوم یک ژنوتیپ از باینگان، در گروه سوم یک ژنوتیپ از پاوه، در گروه چهارم ۶ ژنوتیپ از پاوه و باینگان، در گروه پنجم دو ژنوتیپ از پاوه و مریوان، در گروه ششم دو ژنوتیپ از پاوه، در گروه هفتم دو ژنوتیپ از اصفهان و سیستان و بلوچستان، در گروه هشتم دو ژنوتیپ از پاوه و باینگان، در گروه نهم یک ژنوتیپ از ایلام، در گروه دهم دو ژنوتیپ از ایلام و در گروه یازدهم ۱۴ ژنوتیپ از کوشک، بانه و باینگان قرار گرفتند.

نتایج حاصل از این دندروگرام، عدم ارتباط بین تنوع مولکولی و تنوع جغرافیایی را نشان داد، به طوری که ژنوتیپ‌های جمع‌آوری شده در یک استان یا شهر در گروه‌ها یا زیرگروه‌های جداگانه‌ای قرار گرفتند که نشان‌دهنده تفاوت ژنتیکی بالای این ژنوتیپ‌ها بود. از طرف دیگر بسیاری از ژنوتیپ‌هایی که در یک گروه قرار گرفتند از مناطق جغرافیایی متفاوت هستند که این مورد دلیل تشابه ژنتیکی گسترده این ژنوتیپ‌ها بود. ژنوتیپ‌های Bay7 و P5 و I1 هر کدام به تنهایی در یک گروه اصلی قرار گرفتند که نشان‌دهنده تنوع ژنتیکی بالای این ژنوتیپ‌ها بود. ژنوتیپ‌های اصفهان و سیستان و بلوچستان نیز در یک گروه قرار گرفتند.

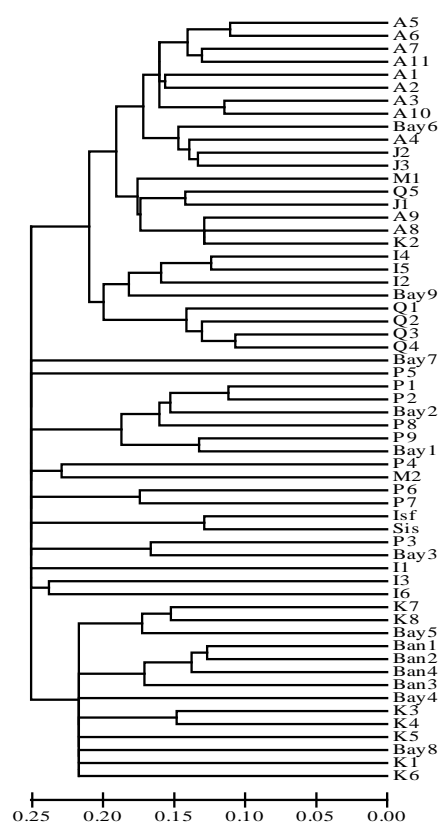
تجزیه به مختصات اصلی جمعیت‌ها: به منظور بررسی بهتر و دقیق‌تر اطلاعات مولکولی، با استفاده از نرم‌افزار GenALEX 6.41 تجزیه به مختصات اصلی انجام شد. گروه‌بندی جمعیت‌ها در یک نمودار سه بعدی ترسیم شده با نرم‌افزار Minitab 16 مورد بررسی قرار گرفت. پراکنش جمعیت‌ها در سه بعد تجزیه به مختصات اصلی (شکل ۳) در مجموع ۸۸/۹۸ درصد از تغییرات را توجیه نمود که ۶۲/۴۵ درصد آن توسط بعد اول، ۱۷/۰۶ درصد توسط بعد دوم و ۹/۴۷ درصد توسط بعد سوم توجیه گردید.

محاسبه آلل‌های اختصاصی: تعداد کل آلل‌ها و آلل‌های اختصاصی برای جمعیت‌های بنه در جدول ۴ ارائه شده است. بیشترین تعداد آلل‌ها در جمعیت‌های آبدانان و کوشک (۱۱۵) و کمترین تعداد آلل‌ها در جمعیت خارج از زاگرس مشاهده گردید. جمعیت پاوه نیز با ۴ آلل، بالاترین تعداد آلل اختصاصی را نشان داد. ژنوتیپ‌های I2، P5، P6، P9 و K5 دارای آلل اختصاصی می‌باشند.

جدول ۴- تعداد کل آلل‌ها و آلل‌های اختصاصی برای جمعیت‌های بنه

جمعیت	تعداد آلل‌ها	تعداد آلل‌های اختصاصی
ایلام	۸۵	۱
آبدانان	۱۱۵	۲
بانه	۹۵	-
باینگان	۱۱۱	۱
پاوه	۹۹	۴
جوانرود	۸۹	۲
قلاج	۹۴	-
کوشک	۱۱۵	۱
مریوان	۵۹	-
خارج از زاگرس	۳۹	۱

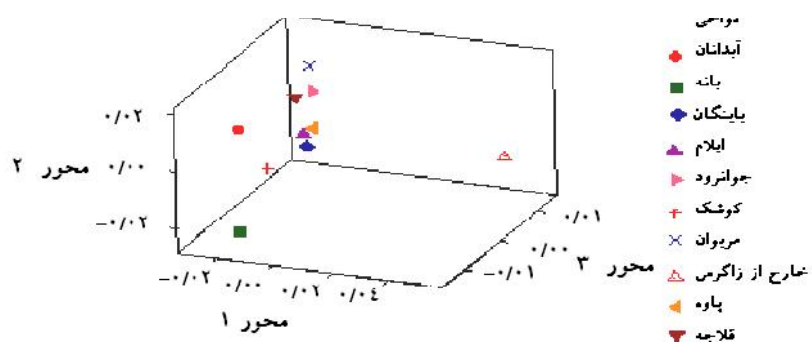
محاسبه ماتریس‌های فاصله ژنتیکی و ضرایب همبستگی کوفنتیک: در این پژوهش برای مشخص کردن بهترین شاخص فاصله و مناسب‌ترین الگوریتم برای ترسیم دندروگرام، همه شاخص‌های فاصله شامل دایس (Dice)، جاکارد (Jaccard)، اوشیایی (Ochiai) و سوکال (Sokal) با روش‌های اتصال میانگین (UPGMA) و اتصال مجاور (NJ) با استفاده از نرم‌افزار DARwin 5.0 محاسبه و بر اساس ضرایب کوفنتیک حاصل از آزمون ماتنل با استفاده از نرم‌افزار XLSTAT مقایسه شدند. شاخص دایس و الگوریتم NJ در آزمون ماتنل ضریب کوفنتیک بالاتری نشان داد، در نتیجه در گزارش نتایج از آنها استفاده شد.



شکل ۲- گروه‌بندی ژنوتیپ‌های بنبه با استفاده از روش دایس و الگوریتم NJ

جمعیت‌هاست. جمعیت خارج از زاگرس در فاصله نسبتاً دوری از جمعیت‌های زاگرس قرار گرفته است که نشان‌دهنده فاصله ژنتیکی زیاد این جمعیت با جمعیت‌های زاگرس می‌باشد.

براساس این نمودار جمعیت‌های ایلام، باینگان، پاره و کوشک نسبت به سایر جمعیت‌ها فاصله کمتری با مرکز محور مختصات داشته و این نشان‌دهنده تنوع آلی و هتروژنی بالای این جمعیت‌ها نسبت به سایر



شکل ۳- نمودار سه بعدی پراکنش جمعیت‌های بنبه بر روی سه محور مختصات اصلی اول، دوم و سوم

از زاگرس و بیشترین فاصله ژنتیکی (۰/۵۹۳) مربوط به جمعیت ایلام می‌باشد. بیشترین فاصله ژنتیکی شاخص Nei، میان دو جمعیت آبدانان و خارج از زاگرس (۰/۲۳۷) و کمترین فاصله نیز میان دو جمعیت باینگان و پاوه (۰/۰۲۳) بود؛ به عبارت دیگر این دو گروه بیشترین شباهت ژنتیکی را با یکدیگر نشان دادند. شباهت ژنتیکی بین جمعیت‌های باینگان و پاوه را می‌توان به فاصله جغرافیایی کم و تشابه شرایط اکولوژیکی حاکم بر آنها ارتباط داد.

محاسبه فاصله ژنتیکی درون و بین جمعیت‌ها: برای آگاهی از تنوع ژنتیکی درون و بین جمعیت‌ها، فواصل ژنتیکی درون جمعیت‌ها براساس ماتریس عدم تشابه دایس با استفاده از نرم‌افزار MEGA 3.1 و نیز ماتریس فاصله و تشابه بین جمعیت‌ها با استفاده از نرم‌افزار GenAIEx 6.41 از طریق شاخص تصحیح شده Nei، محاسبه گردید. براساس اطلاعات به دست آمده (جدول ۵)، کمترین فاصله ژنتیکی درون جمعیت‌ها (۰/۲۵۸) مربوط به جمعیت خارج

جدول ۵ - مقادیر فاصله ژنتیکی درون جمعیت‌ها، فاصله ژنتیکی (پایین قطر) و همسانی ژنتیکی (بالای قطر) بین جمعیت‌ها

جمعیت	درون									
	ایلام	آبدانان	بانه	باینگان	پاوه	جوانرود	قلاجیه	کوشک	مربوان	خارج از زاگرس
ایلام	۰/۵۹۳	***	***	***	***	***	***	***	***	***
آبدانان	۰/۳۱۸	۰/۱۱۹	***	***	***	***	***	***	***	***
بانه	۰/۳۰۵	۰/۱۴۶	۰/۰۹۱	***	***	***	***	***	***	***
باینگان	۰/۴۰۶	۰/۰۴۳	۰/۰۷۰	۰/۰۶۸	***	***	***	***	***	***
پاوه	۰/۵۱۶	۰/۰۲۶	۰/۰۹۲	۰/۱۱۵	***	***	***	***	***	***
جوانرود	۰/۳۴۷	۰/۱۲۹	۰/۰۶۱	۰/۱۱۱	۰/۰۹۸	***	***	***	***	***
قلاجیه	۰/۳۰۰	۰/۱۰۹	۰/۰۶۵	۰/۱۱۲	۰/۰۹۶	۰/۰۷۶	***	***	***	***
کوشک	۰/۴۷۱	۰/۰۵۲	۰/۰۶۵	۰/۰۸۴	۰/۰۴۰	۰/۱۰۳	۰/۰۸۸	***	***	***
مربوان	۰/۴۹۴	۰/۱۰۳	۰/۰۸۷	۰/۱۴۵	۰/۰۶۰	۰/۱۰۴	۰/۰۹۱	۰/۰۷۸	***	***
خارج از زاگرس	۰/۲۵۸	۰/۱۳۶	۰/۲۳۷	۰/۲۲۵	۰/۱۰۸	۰/۲۲۴	۰/۲۱۲	۰/۱۳۷	۰/۱۹۷	***

تجزیه واریانس مولکولی: تجزیه واریانس مولکولی (AMOVA) درون و بین جمعیت‌ها با استفاده از نرم‌افزار GenALEX 6.41 انجام شد. در تجزیه واریانس مولکولی این امکان نیز وجود دارد تا اجزاء واریانس محاسبه و سهم هر یک از آنها در تنوع کل تعیین شود. نتایج تجزیه واریانس مولکولی (جدول ۷) نشان داد که اختلاف معنی‌داری در سطح آماری ۱٪ بین جمعیت‌ها وجود داشت که طبق این اطلاعات ۸۲ درصد از تنوع کل مربوط به تنوع درون جمعیت‌ها و ۱۸ درصد آن مربوط به تنوع بین جمعیت‌هاست.

محاسبه شاخص‌های تنوع ژنتیکی: با استفاده از تجزیه و تحلیل داده‌ها در نرم‌افزار GenAIEx 6.41، میزان آلل‌های چندشکل، شاخص تصحیح شده هتروژنی و شاخص اطلاعات شانون، برای هر جمعیت و میانگین کل آنها به دست آمد (جدول ۶). جمعیت کوشک با بالاترین درصد آلل‌های چندشکل (۷۲/۱۵)، شاخص تصحیح شده هتروژنی (۰/۲۵۷) و شاخص شانون (۰/۳۶۴) تنوع آلی و هتروژنی بیشتری نشان داد. البته کمترین میزان مکان‌های چندشکل (۱۰/۱۳)، شاخص تصحیح شده هتروژنی (۰/۰۵۶) و شاخص شانون (۰/۰۶۱) نیز مربوط به جمعیت خارج از زاگرس بود.



جدول ۶- محاسبه شاخص‌های تنوع ژنتیکی برای جمعیت‌های بنه

جمعیت	تعداد ژنوتیپ	درصد مکان‌های چندشکل	شاخص تصحیح شده هتروژنی	شاخص اطلاعات شانون
ایلام	۶	۵۱/۹۰	۰/۱۸۲±۰/۰۱۶	۰/۲۵۵±۰/۰۲۱
آبدانان	۱۱	۶۱/۳۹	۰/۱۹۴±۰/۰۱۵	۰/۲۸۵±۰/۰۲۱
بانه	۴	۴۲/۴۱	۰/۱۷۴±۰/۰۱۸	۰/۲۲۸±۰/۰۲۲
باینگان	۹	۶۳/۹۲	۰/۲۰۰±۰/۰۱۵	۰/۲۹۲±۰/۰۲۱
پاوه	۹	۶۲/۰۳	۰/۱۸۹±۰/۰۱۵	۰/۲۷۸±۰/۰۲۱
جوانرود	۳	۳۷/۹۷	۰/۱۷۹±۰/۰۱۹	۰/۲۲۰±۰/۰۲۳
فلاجه	۵	۴۴/۹۴	۰/۱۷۰±۰/۰۱۷	۰/۲۳۱±۰/۰۲۲
کوشک	۸	۷۲/۱۵	۰/۲۵۷±۰/۰۱۶	۰/۳۶۴±۰/۰۲۱
مریوان	۲	۲۴/۶۸	۰/۱۳۶±۰/۰۱۹	۰/۱۴۹±۰/۰۲۱
خارج از زاگرس	۲	۱۰/۱۳	۰/۰۵۶±۰/۰۱۳	۰/۰۶۱±۰/۰۱۵
میانگین	۵۹	۴۷/۱۵	۰/۱۷۴±۰/۰۰۵	۰/۲۳۶±۰/۰۰۷

جدول ۷- تجزیه واریانس مولکولی جمعیت‌های بنه

منابع تغییرات	درجه آزادی	مجموع مربعات	میانگین مربعات	درصد واریانس	آماره PhiPT
بین جمعیت‌ها	۹	۳۹۹/۸۵۳	۴۴/۴۲۸	٪۱۸	۰/۱۸۴**
درون جمعیت‌ها	۴۹	۹۵۰/۹۶۱	۱۹/۴۰۷	٪۸۲	
جمع کل	۵۸	۱۳۵۰/۸۱۴		٪۱۰۰	

## بحث

آورد. در بررسی Kafkas و همکاران (۲۰۰۶) تعداد ۱۵۶ آلل چندشکل با میانگین ۷/۷ آلل برای هر آغازگر ISSR به دست آمد. در تحقیق Noroozi و همکاران (۲۰۰۹) میانگین آلل‌ها ۹/۳ برای هر آغازگر ISSR تخمین زده شد. میانگین محتوای اطلاعات چندشکلی (PIC) و شاخص نشانگر (MI) آغازگرها در تحقیق حاضر به ترتیب ۰/۲۸ و ۲/۸۶ به دست آمد و آغازگر UBC840 بیشترین میزان MI را نشان داد. همچنین در مطالعه Tagizad و همکاران (۲۰۱۰) میانگین PIC و MI آغازگرها به ترتیب ۰/۳۹ و ۲/۰۹ گزارش شده است و آغازگر UBC840 بیشترین میزان MI را نشان داده است. با توجه به این که شاخص نشانگری (MI) یک معیار کلی برای تعیین کارایی نشانگر در تخمین چندشکلی می‌باشد، آغازگرهای UBC840، UBC841 و UBC826 با داشتن بالاترین میزان MI

مطالعه حاضر اولین بررسی مولکولی جمعیت‌های بنه با استفاده از نشانگرهای ISSR می‌باشد. نتایج نشان داد که تنوع قابل قبولی درون و بین جمعیت‌های مورد مطالعه وجود دارد و آغازگرهای به کار گرفته شده دارای کارایی زیادی در شناسایی این تنوع هستند. مطابق نتایج به دست آمده ۱۵۸ آلل تکثیر شد، که ۱۰۰ درصد آلل‌ها چندشکل بودند. تعداد آلل‌ها بین ۳ تا ۱۷ با میانگین ۹/۸۷ برای هر آغازگر به دست آمد. در مطالعه تنوع ژنتیکی ارقام و گونه‌های پسته با نشانگر AFLP نیز Ahmadi Afzadi و همکاران (۲۰۰۷) درصد چندشکلی را ۹۵/۲ گزارش کردند. در بررسی تنوع ژنتیکی پسته وحشی *pistacia atlantica* Desf. با نشانگر RAPD نیز Kafkas (۲۰۰۵) تعداد آلل‌ها را ۵ تا ۱۷ و میانگین ۱۰/۵ آلل برای هر آغازگر به دست

- Fares, K., Guasmi, F., Touil, L., Triki, T., and Ferchini, A., 2009. Genetic diversity of pistachio tree using inter simple sequence repeat markers (ISSR) supported by morphological and chemical markers. *Biotechnology*, 8: 24-34.
- Ghaffari, S.M., and Fasihi-Harandi, O., 2002. Chromosome counts and assessment of two heterochromatic chromosomes in some species of *Pistacia* L. from Iran. *Acta Horticulturae*, 591: 389-393.
- Ghaffari, S.M., Shabazaz, M., and Behboodi, B.S., 2005. Chromosome variation in *Pistacia* genus. In: Oliveira M.M., and Cordeiro V., (Eds). XIII GREMPA meeting on almonds and pistachio. Zaragoza, CIHEAM, p.347-354.
- Hamzehpour, M., Bordbar, S.K., Joukar, L., and Abbasi, A.R., 2006. The potential of rehabilitation of wild pistachio forests through straight seed sowing and seedling planting. *Iranian Journal of Forest and Poplar Research*, 14: 207-220.
- Hormaza, J.I., Plnney, K., and Polito, V.S., 1998. Genetic diversity of pistachio (*Pistacia vera*, Anacardiaceae) germplasm based on randomly amplified polymorphic DNA (RAPD) markers. *Economical Botany*, 52: 78-87.
- Kafkas, S., 2005. Detection of polymorphic RAPD markers for *Pistacia atlantica* Desf.. In: Oliveira M.M., and Cordeiro, V., (Eds). XIII GREMPA meeting on almonds and pistachios. Zaragoza, CIHEAM, p.341-346.
- Kafkas, S., and Perl-Treves, R., 2001. Morphological and molecular phylogeny of *Pistacia* species in Turkey. *Theoretical and Applied Genetics*, 102: 908-915.
- Kafkas, S., Ozkan, H., Erol Ak, B., Acar, I., Altı, H.S., and Koyun, S., 2006. Detecting DNA polymorphism and genetic diversity in a wide pistachio germplasm: comparison of AFLP, ISSR, and RAPD markers. *Journal of the American Society for Horticultural Science*, 131:522-529.
- Kayimov, A.K., Sultanov, A.R., and Chernova, G.M., 1998. *Pistacia* in Central Asia. In: Padulosi, S., and Hadj-Hassan, A., (Eds). *Pistacia: Towards a Comprehensive Documentation of Distribution and Use of Pistacia: Genetic Diversity in Central and West Asia, North Africa and Mediterranean Europe*. Report of the IPGRI Workshop, 14-17 December 1998, Irbid, Jordan. International Plant Genetic Resources Institute, Rome, Italy, 113p.
- Khatamsaz, M., 1988. *Flora of Iran No. 3: Anacardiaceae*. Research Institute of Forests and Rangelands, Tehran, 22p.
- Kumar, S.; Tamura, K., and Nei, M., 2004. MEGA3: Integrated software for molecular evolutionary genetics analysis and sequence alignment. *Briefings in Bioinformatics*, 5: 150-163.
- Mirzaei, S., Bahar, M., and Sharifnabi, B., 2005. A phylogenetic study of Iranian wild pistachio species and some cultivars using RAPD markers. *Acta Horticulture*, 726: 39-43.
- Noroozi, S.H., Baghizadeh, A., and Javaran, M.J., 2009. The genetic diversity of Iranian pistachio (*Pistacia vera* L.) cultivars revealed by ISSR

نشان‌دهنده کارایی بالا و قدرت تشخیص بهتر این آغازگرها در تعیین فاصله ژنتیکی می‌باشد، بنابراین می‌توان استفاده از این آغازگرها را در انگشت‌نگاری تمام گونه‌های پسته در اولویت قرار داد. دندروگرام حاصل از تجزیه خوشه‌ای، قادر به گروه‌بندی ژنوتیپ‌ها براساس مناطق جغرافیایی نبود ولی در مطالعه Seyedی و همکاران (۲۰۱۰) هر چند دندروگرام قادر به جداسازی کامل جمعیت‌ها از یکدیگر نشد ولی تا حدودی توانست سه جمعیت را از یکدیگر تفکیک کند. در مطالعه حاضر ۸۲ درصد از تنوع کل مربوط به تنوع درون جمعیت‌ها و ۱۸ درصد آن مربوط به تنوع بین جمعیت‌ها بود. تنوع درون جمعیت‌های این گونه توسط Nosrati و همکاران (۲۰۱۲) نیز ۷۷ درصد و تنوع بین جمعیت‌ها ۲۳ درصد گزارش شد.

یکی از اهداف اولیه برای حفظ طبیعت، نگهداری تنوع ژنتیکی است. با وجود در معرض خطر بودن این گونه ارزشمند، هنوز هم تنوع ژنتیکی کافی برای احیاء، توسعه و ترمیم رویشگاه‌های آن وجود دارد. نظر به اینکه بیشترین تنوع ژنتیکی درون جمعیت‌ها و تمایز ژنتیکی میان جمعیت‌ها می‌باشد، راهبرد حفاظت برای بنه هم شامل حفاظت در محل و هم حفاظت در خارج از محل می‌شود. برای جمعیت‌های با سطوح بالای تنوع ژنتیکی در مناطق مختلف مانند ایلام، باینگان، پاوه و کوشک پیشنهاد می‌گردد که رویشگاه‌های آنها حفاظت شده و بهره‌برداری از آنها ممنوع گردد. جمعیت‌های آبدانان، قلاج، بانه، جوانرود، مریوان و خارج از زاگرس نیز بهتر است خارج از محل اصلی نگهداری شوند و به برنامه دقیق و تهیه بانک ژرم پلاسما نیاز دارند.

#### منابع مورد استفاده

- Ahmadi Afzadi, M., Seyed Tabatabaei, B.E., Mohammadi, S.A., and Tajabadipur, A., 2007. Comparison of genetic diversity in species and cultivars of pistachio (*Pistacia vera* L.) based on amplified fragment length polymorphism marker. *Iranian Journal of biotechnology*, 5: 147-152.
- Doyle, J.J., and Doyle, J.L., 1987. A rapid DNA isolation procedure for small quantities of fresh leaf tissue. *Phytochemical Bulletin*, 19: 11-15.

- markers reveal high polymorphic rates in ryegrasses (*Lolium* spp.). *Molecular Breeding*, 6: 125-126.
- Ryan, B.F., Joiner, B.L., and Cryer, J.D., 2012. *Minitab Handbook*, 6<sup>th</sup> Edition: Update for Release 16. Cengage Learning, Boston, Massachusetts, 560p.
  - Seyedi, N., Jalali, S.G.A., Moghaddam, M., Tabari, M., and Mohammadi, S.A., 2010. Application of seed storage protein in intra-specific variation in three population of *Pistacia atlantica* Desf.. *Journal of Plant Biology*, 2: 1-14.
  - Tagizad, A., Ahmadi, J., Haddad, R., and Zarrabi, M., 2010. A comparative analysis of ISSR and RAPD markers for studying genetic diversity in Iranian pistachio cultivars. *Iranian Journal of Genetics and Plant Breeding*, 1: 6-16.
  - Tagizad, A., Ahmadi, J., Haddad, R., and Zarrabi, M., 2012. studying genetic diversity in Iranian pistachio using several ISSR markers. *Journal of Horticultural Science*, 25: 453-460.
  - Zahedi Pour, H.A., Fatahi, M., Mirdavood Akhavan, H.R., Goudarzi, G.R., and Azdou, Z., 2005. Distribution of different species of Pistachio in Markazi province of Iran. *Iranian Journal of Forest and Poplar Research*, 13: 33-78.
  - Zahedi Pour, H.A., Fatahi, M., and Mirdavood Akhavan, H.R., 2007. Study of distribution and habitats characteristics of wild *Pistacia* in Markazi province: Area of Saghez mountain of Tafresh Township. *Iranian Journal of Biology*, 20: 191-199.
  - markers. *Biological Diversity and Conservation*, 2: 50-56.
  - Nosrati, H., Husainpourfeizi, M.A., Khorasani, M., Razban-Haghighi, A., and Nikniazi, M., 2012. Sex ratio and genetic diversity in the dioecious *Pistacia atlantica* (Anacardiaceae). *Journal of Agrobiology*, 29: 41-46.
  - Pazouki, L., Mardi, M., Shanjani, P.S, Hagidimitriou, M., Pirseyedi, S.M., Naghavi, M.R., Avanzato, D., Vendramin, E., Kafkas, S., Ghareyazie, B., Ghaffari, M.R., and Khayam Nekoui, S.M., 2010. Genetic diversity and relationships among *Pistacia* species and cultivars. *Conservation Genetics*, 11: 311-318.
  - Peakall, R., and Smouse, P.E., 2006. GenAEx 6: genetic analysis in Excel. *Population genetic software for teaching and research. Molecular Ecology Notes*, 6: 288-295.
  - Perrier, X., Flori, A., and Bonnot, F., 2003. Data Analysis Methods. 43-76. In: Hamon, P., Seguin, M., Perrier, X., and Glaszmann, J.C., (Eds). *Genetic Diversity of Cultivated Tropical Plants*. Enfield, Science Publishers, Montpellier, 359p.
  - Reddy, M.P., Sarla, N., and Siddiq, E.A., 2002. Inter simple sequence repeat (ISSR) polymorphism and its application in plant breeding. *Euphytica*, 128: 9-17.
  - Roldan-Ruiz, I., Dendauw, J., Van Bockstaele, E., Depicker, A., and De Loose, M., 2000. AFLP

## Genetic diversity structure of populations of Baneh trees (*Pistacia atlantica* subsp. *mutica*) revealed by genomic ISSR markers

A.A. Mehrabi<sup>\*1</sup>, S. Mohammadi<sup>2</sup>, P. Gholami<sup>3</sup> and A.R. Etminan<sup>4</sup>

1\*- Corresponding author, assoc. prof., Department of Agronomy and Plant Breeding, Faculty of Agriculture and Natural Resources, Ilam University, Ilam, I.R.Iran, Email: a.mehrabi@mail.ilam.ac.ir

2- M.Sc., Department of Agronomy and Plant Breeding, Faculty of Agriculture and Natural Resources, Ilam University, Ilam, I.R.Iran

3- M.Sc., Department of Plant Breeding, Kermanshah branch, Islamic Azad University, Kermanshah, I.R.Iran

4- Assist. Prof., Department of Plant breeding, College of Agriculture, Kermanshah Branch, Islamic Azad University, Kermanshah, Iran.

Received: 16.01.2014

Accepted: 03.12.2014

### Abstract

*Pistacia atlantica* subsp. *mutica* is one of the most valuable forest species in Iran that has been damaged by uncontrolled exploitation of human being. Therefore, understanding the genetic diversity of different populations of the species, an important step can be taken towards development and restoration of habitat with high value of the species. In order to study the genetic diversity among 10 populations of the species, containing 59 genotypes via 16 ISSR primers, in general estimated 158 alleles of which 100% of alleles were polymorphic. Number of amplified alleles ranged from 3 to 17 with a mean value of 9.78 alleles for each primer. Polymorphic information content (PIC) varied from 0.16 (primer UBC866) to 0.38 (primer UBC884). Marker index criterion ranged from 0.48 (primer UBC866) to 5.95 (primer UBC840). Cluster analysis could not completely separate the samples and showed lack of association between molecular diversity and geographic diversity of the studied populations. Principal coordinant analysis also confirmed the results. Kushk population indicated the highest value of polymorphic alleles (72.15 %) and unbiased expected heterozygosity (0.257) and Shannon's Index (0.364). While, the lowest value of polymorphic alleles (10.13 %) and unbiased expected heterozygosity (0.056) and Shannon's Index (0.061) observed on out Zagros population. Analysis of molecular variance (AMOVA) showed that a larger proportion of genetic variation (82%) belonged to within the populations, while only a small proportion (18%) observed among the studied populations.

**Keywords:** Analysis of molecular variance, pistachio, cluster analysis, genetic diversity, ISSR marker, principal coordinant analysis.